

- [8] Здебский А. П., Остапенко С. С., Савчук А. У., Шейнкман М. І. // Письма в ЖТФ. 1984. Т. 10. № 20. С. 1243—1247.
[9] Островский И. В. // Письма в ЖЭТФ. 1981. Т. 34. № 8. С. 467—471.

Институт полупроводников АН УССР
Киев

Поступило в Редакцию
9 января 1989 г.
В окончательной редакции
1 апреля 1989 г.

УДК 537.312.62

Физика твердого тела, том 31, № 9, 1989
Solid State Physics, vol. 31, N 9, 1989

ПРОНИКОВЕНИЕ МАГНИТНОГО ПОЛЯ В ВЫСОКОТЕМПЕРАТУРНЫЙ СВЕРХПРОВОДНИК $\text{YBa}_2\text{Cu}_3\text{O}_{7+\delta}$

И. М. Шушлебин, В. Е. Милощенко, М. Н. Золотухин

Известно, что в высокотемпературных сверхпроводниках (ВТСП), находящихся во внешнем магнитном поле $B_e > B_{k1}$, магнитный поток существует в виде вихрей [1, 2]. Однако процесс проникновения вихрей пока не ясен.

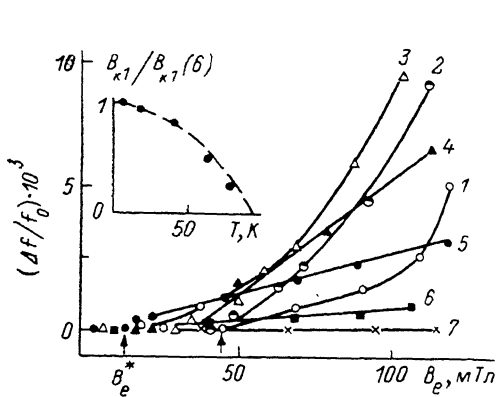


Рис. 1. Влияние температуры на изменение частоты колебаний пластины $\text{YBa}_2\text{Cu}_3\text{O}_{7+\delta}$ в магнитном поле.

$T, \text{K}: 6(1), 20(2), 40(3), 60(4), 80(5), 83(6), 110(7).$
 $f_0=200 \text{ Гц}.$ На вставке — зависимость $B_{k1}(T)/B_{k1}(6)$ от T , где $T_k=90 \text{ К}.$

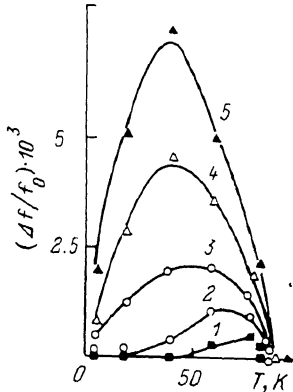


Рис. 2. Влияние магнитного поля на изменение частоты колебаний пластины $\text{YBa}_2\text{Cu}_3\text{O}_{7+\delta}$ с температурой.

$B_e, \text{мТл}: 20(1), 40(2), 60(3), 80(4), 100(5).$

В металлических же сверхпроводниках (СП) проникновение вихрей в их объем приводит к росту собственной частоты f колебаний СП и избыточной диссипации энергии этих колебаний Q^{-1} [3, 4], что позволило использовать механический метод для исследования проникновения поля в СП [5]. Особенности в изменении f и Q^{-1} отмечались и в ВТСП на основе лантана [6] и иттрия [7].

В данной работе представлены результаты изучения проникновения поля в $\text{YBa}_2\text{Cu}_3\text{O}_{7+\delta}$ механическим методом в звуковом диапазоне частот [8]. Образцы в виде пластинок с характерными размерами $3 \times 1 \times 0.3 \text{ мм}$ крепились на свободном конце несущей консоли из бронзы или ниобия, совершающей изгибные колебания. Внешнее магнитное поле B_e , созданное магнитом типа ФЛ-1, направлялось по нормали к большей

плоскости пластиинки. При эксперименте измерялись f и затухание Q^{-1} в зависимости от величины поля B_e , которое изменялось ступенчато (или непрерывно), при постоянной температуре.

Характерные зависимости изменения частоты $\Delta f/f_0 = (f(B_e, T) - f_0(T))/f_0(T)$ приведены на рис. 1. Обнаружено, что в сверхпроводящем состоянии, начиная с некоторого значения поля B_e^* , зависящего от температуры, наблюдается возрастание частоты (кривые 1—6); зависимости при этом имеют обратимый характер. В нормальном же состоянии подобные эффекты не отмечаются (кривая 7). Обнаруженная в [7] избыточная диссипация энергии колебаний сверхпроводящих пластин также проявляется, лишь начиная с поля $B_e^*(T)$; так, при $T=6$ К $\Delta Q^{-1}=0$, когда $B_e \leqslant B_e^*$ и $\Delta Q^{-1}=7.5 \cdot 10^{-5}$ при $B_e=100$ мТл ($f_0=200$ Гц). Измерения намагниченности M в области гелиевых температур показывают, что B_e^* лежит в диапазоне полей B_e , где зависимость $M(B_e)$ отклонилась от линейной, но B_e^* не может быть сопоставлено с введенными в [9] «нижним первым критическим полем» или «верхним первым критическим полем». Это, по нашему мнению, связано с высокой чувствительностью метода [8] к изменению взаимодействия магнитного потока с ВТСП при проникновении в объем ВТСП. Сказанное позволяет отождествить поле B_e^* с полем B_{k1} реального ВТСП. Зависимость B_{k1} от температуры T представлена на вставке рис. 1, где $B_{k1}(T)$ нормировано на $B_{k1}(6)=43$ мТл. Отклонение от параболического закона не превышает такого для обычных сверхпроводников 2-го рода, хотя уже при $T > 40$ К зависимость близка к линейной. Этот результат и полученные значения находятся в хорошем согласии с данными работ [10, 11], где исследование проведено индуктивным методом.

Далее из рис. 1 следует, что угол наклона кривых $\Delta f/f_0(B_e)$ существенно и неоднозначно зависит от температуры. Перестроив эти зависимости изменения частоты, соответствующие $B_e=\text{const}$, получим семейство кривых $\Delta f/f_0(T)$ (рис. 2). Характер изменения частоты в области использованных магнитных полей одинаков, но величина аномалии и ее положение по оси температуры определяются B_e . С увеличением магнитного поля пик $\Delta f/f_0$ растет и смещается, как и следовало ожидать, в область меньших температур (рис. 2, 1—5).

Изменение частоты колебаний сверхпроводящей пластиинки в магнитном поле в условиях данных экспериментов, где несущая консоль не вносит заметного вклада, связано только с откликом ВТСП на это поле, приводящим к появлению некоторого момента сил. Отсюда следует, что ВТСП приобретает во внешнем магнитном поле $B_e > B_{k1}$ дополнительный магнитный момент $m(B_e, T)$, обусловленный проникновением в него вихрей и их закреплением на центрах пиннинга. Тогда можно записать [12] $\Delta f/f_0(B_e, T) \approx m(B_e, T) B_e / 2I\omega_0^2$, где I — момент инерции пластиинки, $\omega_0 = 2\pi f_0$.

Анализ экспериментальных результатов позволяет говорить об интенсивном и непрерывном проникновении магнитного потока. Действительно, вид зависимости $\Delta f/f_0$ определяется числом закрепленных вихрей. Если в ВТСП каждый вихрь несет квант магнитного потока Φ_0 , то $4\pi m = n_p B_0 V = N_p \Phi_0 d$, где $n_p = N_p/N$; B_0 — индукция в ВТСП; N_p — число закрепленных вихрей; N — общее число вихрей; V , d — объем и толщина пластины.

Так, при $T=6$ К и $B_e=50$ мТл имеем $\sim 10^8$ закрепленных вихрей. С помощью формул работы [12] из отношения $\Delta Q^{-1}/(\Delta f/f_0)$ получаем, что здесь лишь около 3 % вихрей свободны, а по зависимости $\Delta f/f_0(B_e)$ можно судить о проникновении магнитного потока в целом.

Список [литературы]

- [1] Винников Л. Я., Гуревич Л. А., Емельченко Г. А., Осицкая Ю. А. // Письма в ЖЭТФ. 1938. Т. 47. № 2. С. 109—111.
- [2] Ourmazd A., Rentzhler J. A., Skoopol W. J., Johnson D. W. // Phys. Rev. B. 1987. V. 36. N 16. P. 8914—8917.
- [3] Милощенко В. Е., Ломакин В. В., Савельев Ю. Н. и др. // ФНТ. 1980. Т. 6. № 6. С. 813—814.

- [4] Чигвинадзе Дж. Г., Джапишвили Г. А. // ЖЭТФ. 1980. Т. 78. № 6. С. 2337—2342.
- [5] Милошленко В. Е., Воронин Б. В. // ФТТ. 1985. Т. 27. № 12. С. 3701—3703.
- [6] Duran C., Esquinazi P., Luzuriaga J., Brandt E. H. // Phys. Lett. 1987. V. 123. N 9. P. 485—488.
- [7] Голев И. М., Иванов О. Н., Шушлебин И. М. и др. // ФТТ. 1989. Т. 31. № 1. С. 220—222.
- [8] Милошленко В. Е., Золотухин И. В., Постников В. С. // ПТЭ. 1972. № 1. С. 218—220.
- [9] Isikawa Y., Mori K., Kobayashi K., Sato K. // Jap. J. Appl. Phys. 1987. V. 26. N 9. P. 1535—1537.
- [10] Wan Jun, Mao Xianlei, Chen Lin et al. // Chin. J. Low Temp. Phys. 1988. V. 10. N 1. P. 12—16.
- [11] Drumheller J. E., Rubenacher G. V., Ford W. K. et al. // Sol. St. Comm. 1987. V. 64. N 4. P. 509—511.
- [12] Шушлебин И. М., Милошленко В. Е. // Техн. электродинамика. 1988. № 6. С. 18—21.

Воронежский
политехнический институт
Воронеж

Поступило в Редакцию
8 февраля 1989 г.
В окончательной редакции
11 апреля 1989 г.

УДК 535.84; 535.72; 539.2

Физика твердого тела, том 31, в. 9, 1989
Solid State Physics, vol. 31, N 9, 1989

МЕЛКИЙ ЭЛЕКТРОННЫЙ УРОВЕНЬ В ПОЛЯРНОМ КРИСТАЛЛЕ

E. Я. Шерман

В полярных кристаллах электрон-фононное взаимодействие характеризуется безразмерной константой [1]

$$\alpha = e^2 (2m\omega_0)^{1/2} (1/x_\infty - 1/x_0)/2\omega_0 \quad (1)$$

и фрелиховским импульсом $k_p = (2m^*x_0)^{1/2}$. Здесь ω_0 — частота оптического фонона (будем считать ее бездисперсной); m^* — эффективная масса электрона; x_0 , x_∞ — низкочастотная и высокочастотная диэлектрические проницаемости; $\hbar=1$.

В случае $\alpha \ll 1$ в работе [2] исследованы свойства диэлектрических мод: связанных состояний электрона и фонона на примесном центре в резонансном случае $\omega_1 \approx E_s - E_0$; E_s , E_0 — невозмущенные уровни энергии электрона на примесном центре; ω_1 — частота локальной моды, связанной с центром. При сильной связи ($a \geq 10$) образуется связанное состояние полярона и фонона с малой энергией связи [3]. Ниже будет показано, что в случае $\alpha \ll 1$ возможно образование слабосвязанного состояния электрона и фонона на примеси за счет электрон-фононного взаимодействия.

Запишем гамильтониан для электрона, взаимодействующего с фононами, в потенциале $U(r)$

$$\hat{H} = \hat{H}_e + \sum_{\mathbf{q}} \delta_{\mathbf{q}}^+ \delta_{\mathbf{q}}^- + (4\pi a k_p^{-1}/V \omega_0^2)^{1/2} \left(\sum_{\mathbf{q}} \delta_{\mathbf{q}}^+ e^{i\mathbf{qr}} / q + \text{з. с.} \right). \quad (2)$$

Здесь $\hat{H}_e = p^2/2m^* + U(r)$ — электронная часть гамильтониана; $\delta_{\mathbf{q}}^+$, $\delta_{\mathbf{q}}^-$ — операторы рождения и уничтожения фононов с импульсом \mathbf{q} ; V — объем кристалла.

Будем считать, что, хотя в спектре \hat{H}_e нет связанного состояния, оно может появиться при небольшом углублении $U(r)$.

Решение уравнения Шредингера с гамильтонианом (2) в первом порядке по α имеет вид